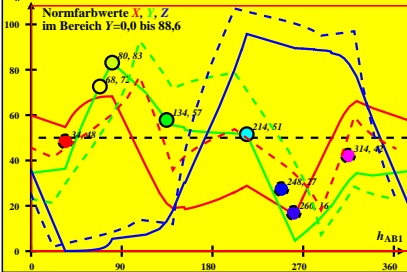


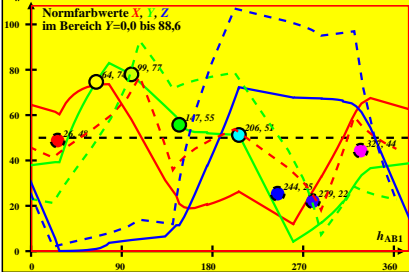
CIE-D65-Daten von *-Ostwald-Farben* von maximalem Buntwert C_{AB}
 $Y_w=88,6$, $Y_m=520_770$, $B_m=380_520$ und *sRGB*-Daten (- -)



0-000030-L0

DG071-1A_1_1

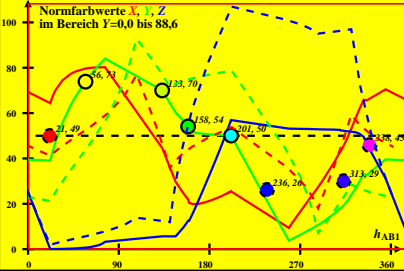
CIE-D50-Daten von *-Ostwald-Farben* von maximalem Buntwert C_{AB}
 $Y_w=88,6$, $Y_m=520_770$, $B_m=380_520$ und *sRGB*-Daten (- -)



0-000030-L0

DG071-1A_1_2

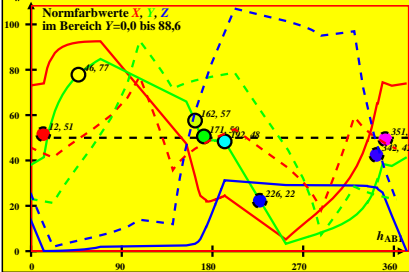
CIE-P40-Daten von -Ostwald-Farben von maximalem Buntwert C_{AB}
 $Y_w=88,6, Y_m=520_770, B_m=380_520$ und *sRGB*-Daten (- -)



0-000030-L0

DG071-1A_1_3

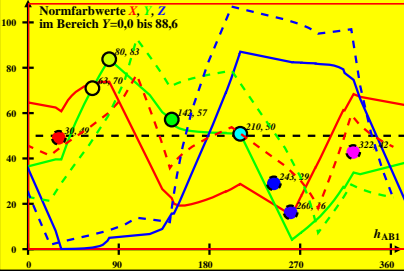
CIE-A00-Daten von *-Ostwald-Farben* von maximalem Buntwert C_{AB}
 $Y_w=88,6$, $Y_m=520_770$, $B_m=380_520$ und *sRGB*-Daten (- -)



0-000030-L0

DG071-1A_1_4

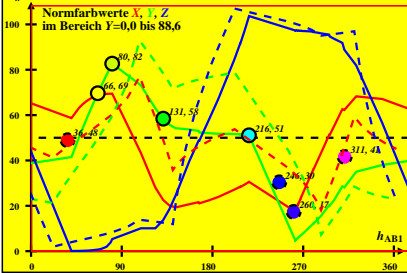
CIE-E00-Daten von *-Ostwald-Farben* von maximalem Buntwert C_{AB}
 $Y_w=88,6$, $Y_m=520_770$, $B_m=380_520$ und *sRGB*-Daten (- -)



0-000030-L0

DG071-1A_1_5

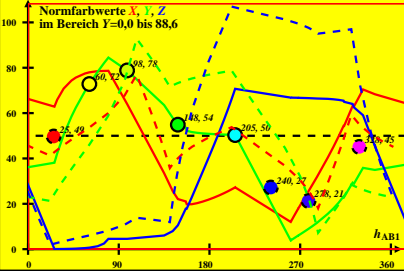
CIE-C00-Daten von *-Ostwald-Farben* von maximalem Buntwert C_{AB}
 $Y_w=88,6$, $Y_m=520_770$, $B_m=380_520$ und *sRGB*-Daten (- -)



0-000030-L0

DG071-1A_1_6

CIE-P00-Daten von -Ostwald-Farben von maximalem Buntwert C_{AB}
 $Y_w=88,6, Y_m=520_770, B_m=380_520$ und *sRGB*-Daten (- -)



0-000030-L0

DG071-1A_1_7

CIE-Q00-Daten von -Ostwald-Farben von maximalem Buntwert C_{AB}
 $Y_w=88,6$, $Y_m=520_770$, $B_m=380_520$ und *sRGB*-Daten (- -)

